

비선형 내진 손상도 평가 및 보강상태함수를 이용한 기존교량의 내진 보강 전략

Seismic Nonlinear Damage Assessment and Retrofit Strategies for Existing Bridges with Isolation System using Retrofit State Function

조효남* 최현호** 염원석*** 신만규****
Cho, Hyo-Nam Choi, Hyun-Ho Eom, Won-Seok Shin, Man-Kyu

Abstract

This paper presents a systematic approach to the seismic nonlinear analysis and retrofit strategies for existing bridges with isolation system using a retrofit state function newly proposed in this study. A seismic retrofit scheme using sliding base isolation systems was presented to reduce the seismic hazard for bridge structures. In this study, two types of isolation systems such as lead rubber bearings and sliding isolators were used. The behavior of sliding isolators was modeled by a triaxial interaction model. And three types of earthquakes such as El Centro, San Fernando, and the artificial were used as earthquake ground excitations. Seismic response analyses of the bridge before and after retrofit were effectively carried out by using a three-dimensional nonlinear seismic analysis program, IDARC-Bridge. Also, this paper proposes a retrofit state function for easily representing the efficiency of a retrofit scheme.

Keywords : Seismic Nonlinear Analysis, Retrofit Strategies, Isolation System, Retrofit State Function, Lead Rubber Bearings, Sliding Isolator, IDARC-Bridge

1. 서 론

최근 10여년 동안 Mexico 지진(1985), Laena

Prieta 지진(1989), Northridge 지진(1994), 그리고 최근 들어 일본의 효고현 난부 지진(1995), 터키의 이스미트 지진(1999) 등 강진의 발생으로 인하여

* 한양대학교 도목·환경공학과 교수

** 한양대학교 도목·환경공학과 박사과정

*** 신한대학교 대학원 석원

**** 한양대학교 도목·환경공학과 석사과정

E-mail : inetshin@hanYang.ac.kr 031-400-4027

● 본문에 대한 보러는 2002년 3월 31일까지 학회로 보내주시면 2002년 7월호에 토론집자로 게재하겠습니다.

자신 지진복원 장치와 더불어 인명 피해 또한 큰 손실을 발생 시켰다. 또한 국내에서도 강원도 영월에서 규모 4.5의 지진(1996)과 경주 지방에서 발생한 규모 4.3의 지진(1997) 등의 발생으로 인해 내진 설계와 더불어 기존 교량의 내진 보강에 대한 연구가 활발하게 이루어지고 있다. Shigeiki(2000)는 일본 내 현존하는 교량에 대한 내진 보강 방안에 대한 연구를 수행하였고, Ghobarah(2000)은 콘크리트 기둥에 대한 보강 대책에 대한 평가를 수행하였다. 그리고 가장 잘 알려져 있는 성능 개선 우선 순위 방법으로는 ATC-6-2와 California Department of Transportation에서 제시한 방법 등이 있다. 그러나 이러한 방법들은 유전수를 결정에 있어 수작적인 정량화 없이 전문가의 판단이나 경험에 의존하는 경향이 있다(Priestley et al., 1996).

지진 발생 시 구조물의 내진 성능 개선을 위한 방안의 하나로 남면 진장치(Lead Rubber Bearing, LRB)와 마찰 미어링과 같은 지진 저감장치를 사용하여 교량의 내진 보강을 수행하고 있다.

지진 저감장치는 지진 발생 시 교량의 손상을 줄이기 위하여 사용되는 장치로 다음의 두 가지 역할을 가지고 있다. 첫 번째는 지반과 교량사이를 연화시키며 교량과 지반을 저감시키는 역할을 하며, 다른 하나는 교량과 지반 사이에 에너지 감소 능력을 제공하는 역할을 한다. 이 두 가지 역할은 동시에 작동할 수 있으며, 일반적으로 에너지 감소 능력의 경우는 면적을 감소시키기 위해 사용된다. 본 연구에서 사용한 지진저감장치의 모형은 Bouc(1971)와 Wen(1976)에 의해 제안된 LRB와 연직방향 하중에 대한 고려를 할 수 있는 삼방향 지진저감장치(Triaxial Isolator)를 사용하여 기존 교량의 내진 성능을 개선 시켰다. 또한, 본 논문에서는 기존 교량의 내진 성능 향상을 위한 지진 손상도 평가와 지진저감장치를 사용한 내진 보강된 교량에 대한 내진 손상도 평가를 실시하였다. 콘크리트 교각의 손상도 평가를 위하여 손상도 평가의 지도로 잘 알려진 Park & Ang 손상 지수(Park & Ang Damage Index, DI)를 개선하여 Reinhorn과 Valles(1995)가 제안한 새로운 손상지수(Fatigue Damage Index)를 이용하여 각 교각에 대한 손상도

을 평가하였다.

한편 지진저감장치를 사용한 내진 보강 후에 교량의 보강상태 판단을 위하여 보강상태함수(Retrofit State Function, RSF)를 계산하였다. 본 논문에서 제안한 보강상태함수는 교량의 보강 전·후의 손상도 평가를 기반으로 하고 있으며, 지진 발생에 대한 피해를 감소시키기 위하여 보강된 교량의 보강 정도를 판단하는 함수이다. 이러한 보강 상태함수를 계산함으로써 기존 교량에 대하여 내진 보강을 한 후 그 보강 정도가 어느 정도 이루어졌는지의 상태 판단을 쉽게 할 수 있으며, 이후 보강 방안에 대한 판단과 함께 시 목표보강 상태(Target Retrofit State)를 설정하여 보강 시의 의사결정에 반영 할 수 있도록 사료된다.

본 연구에서 제안한 보강상태함수와 구성을 위하여 교량의 교각에 대한 손상도 평가와 지진 저감장치에 대한 해석을 수행하였다. 이를 위하여 범용 3차원 비선형 내진 해석 프로그램인 IDARC (Inelastic Damage Analysis of Reinforced Concrete)-Bridge (Reinhorn et al., 1998)를 사용하였다.

2. 손상도 평가 모델

일반적으로 지진 발생 시 콘크리트 구조물의 손상은 지진에 의한 구조물의 과도한 변형이나 액체화 등으로 인한 손상의 누적으로 일어나 발생된다.

이와 같은 구조물의 손상을 평가하기 위하여 면적비에 근거한 방법이 주로 초기의 손상도 평가 방법으로 사용되었다(Banon et al., 1981, Sardó et al., 1989)(식 (1)).

$$\mu_D = \frac{D_m}{D_s} = 1 + \frac{D_m - D_c}{D_c} \quad (1)$$

여기서, μ_D = 면적비

D_m = 구조물의 최대 발생변형

D_c = 구조물의 항복 변형

그러나 열성비에 따른 균기한 손상도 평가방법은 반복 하중에 의한 누적 손상을 고려하지 못한다는 단점을 가지고 있었다. 따라서 이러한 단점을 보완하기 위해 이 반복하중에 대한 효과를 고려할 수 있는 여러 에너지(Hysteretic Energy) 모델이 제안되어 손상도 평가에 이용되었다(Park et al., 1985). 그리고 보다 정확한 손상도 평가를 위해서는 이러한 모델들을 단독으로 사용하는 것보다는 이들의 조합에 의해서 손상도 평가가 이루어지는 것이 보다 합리적이라 할 수 있다(Williams & Sexsmith, 1995).

조합 모델로써 현재 가장 많이 사용되고 있는 손상 평가 모델은 Park & Ang(1985) 손상지수이다. 이 모델에서는 손상지수를 일관화된 변형과 에너지 축수에 관한 항을 선형으로 조합하였다. Park & Ang 손상지수는 다음과 같다.

$$DI = \frac{\delta_m}{\delta_a} + \frac{\beta}{F_p \delta_a} \int dE \quad (2)$$

여기서, δ_m = 최대 발생 변위

δ_a = 극한 변위

F_p = 항복 강도

$\int dE$ = 에너지 축수

β = 모델에 따른 계수변수

식(2)에서 첫 번째 항은 변위에 대한 항으로써 앞서 설명한 열성비를 고려한 항이고, 두 번째 항은 에

너지에 관한 항으로 저진 하중과 같은 반복하중을 받는 경우에 구조물에 축적되는 손상을 표현 할 수 있는 항이다. 이와 같이 열성에 대한 고려와 축적되는 에너지와 함께 고려함으로써 보다 합리적으로 손상도를 평가 할 수 있는 모델이라 할 수 있다.

최근에는 앞서 언급한 Park & Ang 손상지수를 수정한 손상지수가 Kunnenath(1992)에 의해 제안되었다. 이 손상지수는 Park & Ang 손상 지수와 유사하게 열성에 대한 항과 반복하중에 대한 축적 에너지의 항으로 구성되어 있다. 그러나 Park & Ang 손상 지수에서 사용한 변위 및 강도의 항은 주류와 강도로 표시하여 식(3)과 같이 기술하였다.

$$DI = \frac{\phi_m - \phi_x}{\phi_m - \phi_a} + \frac{\beta}{M_p \phi_a} \int dE \quad (3)$$

여기서, ϕ_m = 최대 발생 유클리드

ϕ_x = 항복 유클리드

ϕ_a = 극한 유클리드

M_p = 항복 모멘트

Park & Ang과 Kunnenath 등이 제안한 손상 지수에 따른 구조물의 손상 정도는 Table 1에 나타내었다.

가장 최근에는 Reinhorn과 Valles(1995)에 의해 서 파로 손상지수가 제안되었다. 이는 구조물의 구조 응답과 low-cycle 파로에 균가를 두고 제안된 것으로 아래 식(4)로 표현 할 수 있다.

Table 1 손상지수에 따른 구조물의 손상 정도

위험한 측도	Park, Ang and Wenz(1984)		Kunnenath et al.(1992)	
	손상 정도	손상지수	손상 정도	손상지수
구조물의 전체 또는 부분적 무너짐	붕괴	> 1.0	붕괴	> 0.77
콘크리트의 극심한 파괴, 철근 노출	심한 손상	0.4~1.0	보수 불가	0.4~0.77
심한 균열, 콘크리트 spalling	보통 손상	< 0.4	보수 가능	0.11~0.4
경미한 균열, 거동에서 콘크리트의 부분적 파손	경미한 손상	-	보수 가능	< 0.11
전체의 균열 발생	부손상 또는 미세 균열	-	-	-

$$DI = \frac{\delta_a - \delta_p}{\delta_a - \delta_p} \cdot \frac{1}{E_k} \quad (4)$$

여기서, δ_a = 최대 밸링 변위
 δ_p = 항복 변위
 δ_u = 극한 변위
 F_p^* = 항복강도
 E_k = 누적 강소 이력 에너지

위 식을 정리하면

$$DI = \frac{\delta_a - \delta_p}{\delta_a - \delta_p} + \frac{E_k}{4(\delta_a - \delta_p)F_p^*} \quad (5)$$

으로 나타낼 수 있는데 이는 기존의 Park & Ang 쓰 사용자수에서 β 가 0.25인 경우와 같은 식이 됨을 알 수 있다.

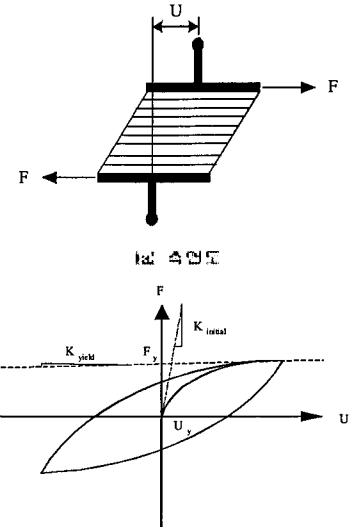
Reinhorn과 Valles가 제시한 세로손상지수는 앞서 언급한 범용 3차원 비선형 대진 해석 프로그램인 IDARC-Bridge의 손상도 평가 방법으로 쓰인다. 따라서 본 논문에서는 세로 손상지수를 사용하여 교량의 교각부에 대한 손상도를 평가하였다.

3. 지진 격리 장치

3.1 납연진장치

내진 보강용 위한 지진격리장치로 앞서 언급한 Bouc(1971)와 Wen(1976)이 제작한 LRB 모델을 이용하여 내진 성능 보강용 하였다. 이 모델은 Bouc에 의해 개발되었고 Wen에 의해서 개선된 모델로써, 일반적인 기동형상은 Fig. 1(a)와 같으며, Fig. 1(b)는 LRB의 힘-변위 관계를 나타내기 위한 smooth bilinear 모델이다.

Bouc-Wen의 방정식은 Runge-Kutta 방법에 의해 1차 미분방정식의 해로 나타낼 수 있다(Nadarsajaiah



1b 힘-변위 관계

Fig. 1 LRB

et al., 1989). 탄소강 사용을 하는 자선 격리장치와 기본식은 다음과 식 (6)과 같이 나타낼 수 있다.

$$F = 2F_p \quad (6)$$

여기서, \$Z\$는 아래 식 (7)과 같은 미분방정식에 의해 정의 될 수 있다.

$$\dot{Z} = A \frac{U}{U_p} - [Z]^{\gamma} G \operatorname{sgn}(UZ) + \beta \gamma \frac{U}{U_p} \quad (7)$$

여기서, \$Z\$의 범위는 \$-1 \leq Z \leq 1\$로 제한되고 \$\operatorname{sgn}()\$은 신호함수이고 \$A\$와 \$\beta, \gamma\$는 이력곡선의 형상을 제어하는 부자원 매개변수이다. 그리고 \$U\$는 총 변위, \$U_p\$는 항복 변위를 나타낸다.

이로부터 식 (6)은 다음과 같이 나타낼 수 있다.

$$F = \alpha \frac{F_p}{U_p} U + (1 - \alpha) F_p Z$$

$$\text{또는 } F = aK_0U + (1-a)F_sZ \quad (8)$$

여기서, F = restoring force
 a = 향과 강성과 초기 단정 강성과의 비
 F_s = 향복강도

앞서 언급한 Bouc-Wen의 LRB 모델은 향복강도 F_s , 향복변위 U_s , 초기강성 K_{max} , 향복강성 K_{low} 그리고 초기강성과 향복강성의 비로 표현되는 α 와 이력곡선의 쟁상을 표현하는 β , γ 등의 변수로써 정의할 수 있다.

여기서 β 와 γ 가 같을 경우 이력곡선의 대수계에서 경사(강성)는 하증되하시록 같으며 $K_{min} = F_s/U_s$ 가 되고, β 가 γ 보다 큰 경우에는 하증비제역시 강성이 초기강성 K_{max} 보다 커지며 유동한 형태의 하증비 제하 구성을 이루게 된다. 이와 반대로 β 가 γ 보다 작은 경우에는 반대의 구조 형상을 이루어진다(Fig. 1 (b)).

3.2 축방향 자진 격리장치

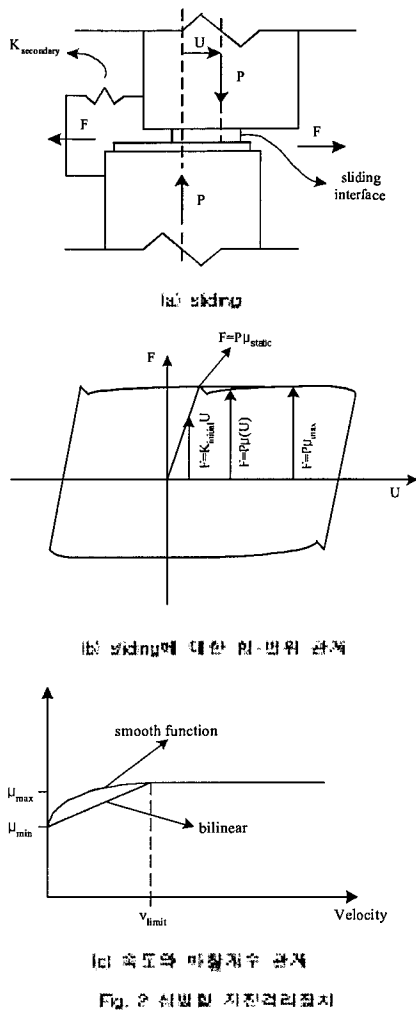
축방향 자진 격리장치는 세 방향 모두에서 하증이 가능하는 경우 sliding 격리 장치를 이용한 모델이다. Fig. 2는 축방향 자진 격리장치와 이에 대한 수학적 모델을 나타낸다.

본 모델은 교축방향과 교축직각방향에 대한 변위와 함께 원작방향의 하증에 대한 영향을 고려할 수 있다.

Sliding 격리 장치는 STICK 단계와 SLIP 단계 두 가지로 구분 할 수 있다.

우선 STICK 단계에서 격리장치의 강성은 단정 강성인 K_{max} 를 가지게 된다. 다음으로 SLIP 단계에서는 격리장치의 마찰계수 값은 속도의 함수가 된다 (Fig. 2 (c)). 격리장치의 속도가 현재 속도인 U_{max} 을 초과하게 되는 경우에는 마찰계수는 μ_{max} 로 일정한 값을 가지게 된다.

축방향 자진 격리장치의 수학적 모델링을 위하여 다



(a) 속도의 마찰계수 관계

Fig. 2 축방향 자진격리장치

음과 같은 변환률에 대한 정의가 필요하다.

$I =$ 동적 하증의 영향이 없는 미분된 표면상의

초기 공원 정지 하증

$K_{max} =$ sliding 없는 상태와 초기 강성

$K_{min,0} =$ SLIP 단계 동안의 강성

$U_{max} =$ 속도의 한계

$\mu_{max}, \mu_{min}, \mu_{max,0} =$ 최소, 최대 그리고 정지 마찰 계수

수평방향 하중인 $F(t)$ 은 추가 합수인 다음과 3가지 요소와 조합에 의해서 표현된다.

(i) 선형증가, (ii) 점성요소, 그리고 (iii) 아래 식 (9)과 (10)으로 정의되는 "Coulomb" 마찰요소 (Reichman 1996; Mokha et al., 1993):

$$F(t) = F_0 - Jt + \Delta F(t) \quad (9)$$

$$\Delta F(t) = k_d U(t) + c_d \dot{U}(t) + \mu_d I N(t) \\ + s_d |F(t) - Jt| \Delta I(t) \quad (10)$$

여기서, U , \dot{U} = 시간에 따른에는 변위 및 속도

k_d = 초기 단성 강성

c_d = damping 계수

그는 시간 $t - \Delta t$ 에서 t 로 시간 충분을 나타내며 N 은 sliding 면에 작용하는 공정 하중의 변수, s_d 는 SLIP 단면에서 양방향 영향을 나타내주는 인자이다. 그리고 ΔI 는 아래 식으로 정의 할 수 있는 sliding의 방향 베타이다.

$$\beta(t) = \dot{U}(t) / |\dot{U}(t)| \quad (11)$$

4. 보강상태함수

현재 국내에서 선설되는 모든 도로창의 교량은 도로교현계기준의 내진 설계에 준하도록 내진 설계를 실시하고 있다. 그렇다면 기준의 모든 보강에 대해서도 내진 설계 기준에 준하는 내진 성능 개선의 필요성이 있음을 알게 되었다. 그러나 기준의 모든 보강은 내진 설계 기준에 의해 설계된 교량과 같은 정도의 내진 성능을 차니도록 성능 개선을 실시한다면 적대한 예산이 소요된다.

따라서 본 논문에서는 내진 보강된 교량의 보강 정도를 판단하고 또한 향후 수행되어질 보강에 대해서 어느 정도의 보강이 필요한지의 여부를 판단하기 위해 디 교량의 내진 손상도 평가에 근거하여 아래 식 (12)와 같이 보강상태함수를 제안하였다.

$$RSF(\%) = \left(1 - \frac{BL_{actual}}{BL_{original}}\right) \times 100(\%) \quad (12)$$

여기서, RSF = 보강상태함수

BL_{actual} = 보강 후 구조물의 손상 지수

$BL_{original}$ = 보강전 구조물의 손상 지수

위의 식에서 $RSF=0$ 인 경우 이를 원래보강상태라 하며 이는 보강전의 상태와 보강후의 상태가 동일하다는 의미이며, $RSF>0$ 이면 보강이 이루어져 보강 전보다 자신에 대한 손상이 작아졌다고 볼 수 있으며, $RSF<0$ 인 경우에는 보강 후가 오히려 보강전보다 더 피해가 크고 향후 보강이 더 이루어져야 한다는 의미한다. 즉, 이와 같은 보강상태 함수로써 내진 성능 보강상태의 정도를 쉽게 평정 할 수 있도록 퍼센트 개념을 도입함으로써 기존 표준에 대한 보강 수준의 정도를 판단할 수 있도록 편리 아니라 향후 보강이 필요한 교량에 대해서도 보강의 유무, 보강정도를 판단하는 기준으로 사용할 수 있음 것이다. 또한 보강 전에 미리 복지 보강상태를 정하여 보강의 규모, 방법 등의 결정과 다양한 보강 방안 중에서 최적 보강 방안을 선택하는데 도움을 줄 것으로 판단된다.

그리고 지진 발생 시 Network level에서 여러 교량에 대한 보강수준 결정 사각 교량에 대한 중요도 계수 등이 본 논문에서 제안한 보강상태함수와 조합을 통하여 보다 합리적인 보강수준을 결정 할 수 있음 것으로 판단된다.

5. 적용 예

본 논문에서는 앞서 설명한 내진 보강 및 보강 상태를 판단하기 위하여 PSC 박스 기네교량을 대상 구조물로 하여 3가지 입력 지진 하중과 지진하중 입력 방향 2가지, 차만 종류 2가지 등 모두 12가지 경우에 대하여 보강 전·후에 대한 손상도 평가와 보강상태 평가를 실사하였다.

본 논문에서는 비선형 내진 해석과 지진 격리장치의 모델링이 용이한 멀티 3차원 비선형 내진 해석 프로그램인 IDARC-Bridge를 사용하여 수치해석을 실시하였다.

5.1 대상 구조물의 일반 사항

대상 구조물은 Fig. 2와 같이 6경간 연속 교로에 설치구조는 PSC 바스 형태이고, 하부구조는 원형 단면을 가지는 교각으로 구성되었다. 대상 교량의 일반적인 세부는 Table 3과 같다.

교강원 구조물에 대한 해석은 일반 단성 반침울 Boue-Wen 모델을 사용한 LRB와 연작재상에 대한 하중유 고려 할 수 있는 삼방향 격리장치를 이용하여 수행하였다.

그리고 본 대상 구조물에서 적용한 LRB에 대한 폐계변수와 삼방향 격리장치의 데이터들은 Table 4와 같다.

Table 3 대상 구조물의 일반 세부

	전장(m)	39.40 + 29.46 + 29.40 = 98.26
상부	교폭(m)	12.15
	박스 높이(m)	3.2
하부	교각 높이(m)	13.4, 15.7, 19.5, 18, 22.6, 27.6
	교각 단면개념	3.5

5.2 대상 구조물의 모델링

대상 구조물은 크게 상부와 교각, 그리고 기초부분으로 나누어 모델링을 실시하였다.

상부는 단성 보 요소로, 교각 부는 3차원 이며 요소로 그리고 기초는 단성 기초로 모델링을 하였다(Fig. 3).

지진 발생사 교량의 손상 및 파괴는 대부분 교각부의 파손에 의해서 이루어지는 것으로 알려져 있다. 따라서 본 논문에서는 교각부를 이며 요소로 모델링 하여 앞서 언급한 파괴순상 지수를 산정하여 교량의 손상 정도를 추정하였다.

Table 4 지진격리장치의 조설치

	LRB	삼방향 격리장치	
α^*	1.0E-2	μ_{max}	0.18
β	0.1	μ_{static}	0.09
γ	0.9	$\mu_{dynamic}$	0.04
P_y (KN)	782	δ_{limit}	0.1
D_p (mm)	0.0015		

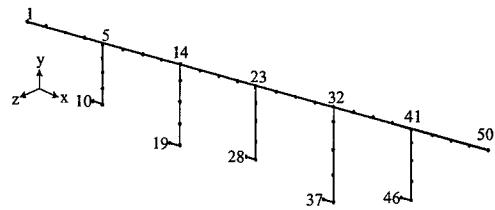


Fig. 3 구조물 모델링

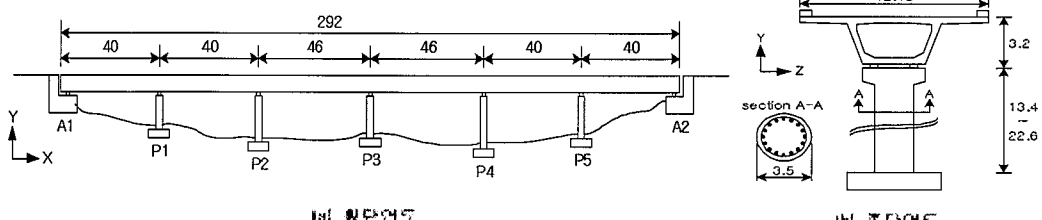


Fig. 2 대상 구조물

5.3 일례 지진 하중

대상 구조물에 가진 시원 힘의 지진 하중은 1940년에 발생한 El Centro 지진과 1971년에 발생한 San Fernando 지진, 그리고 국내 지형에 알맞은 인공 지진파를 합성 시켜 사용하였다.

El Centro 지진은 표준화된 강진으로써 국내외 지반에 적용하기에 알맞은 지진이다. San Fernando 지진의 경우 지반의 성질에 대해 고려하기란 가지고 있나는 사실을 보여준 지진으로 중요도 계수와 지반계수에 대한 영향을 고려 할 수 있게 한 지진이다. 그리고 인공 지진파는 도로교설계기준에서 정한 대신 1등급 지역에 있어 지반화대가속도 0.14g로 하며 SIMQKE를 이용하여 인공지진파를 생성하여 가진 것이다.

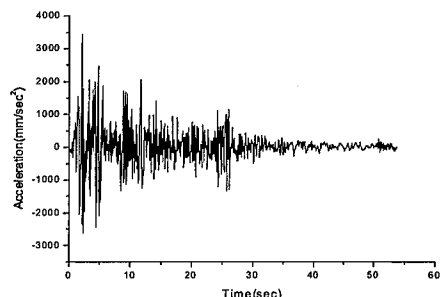
Fig. 4는 텁려 지반 가속도로 사용된 지진파에 대한 그림을 보여주고 있다.

본 논문에서는 이러한 세 가지의 벤치 XZ방향 주, 교축방향과 교축직각방향에 가진 시켰으며, XY방향 주, 교축방향과 교축직각방향, 연직방향에 동시에 가진 유하여 대신 해석유 수용하였다.

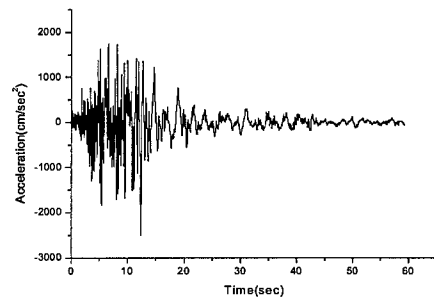
또한 지반을 연약 지반과 견고한 지반으로 나누어 보강 실험을 판단해보았다. 지반은 고정된 것이 아니라 스프링으로 치환하였으며 그에 대한 계수들은 아래 Table 5와 같다.

Table 5 지반에 대한 스프링계수

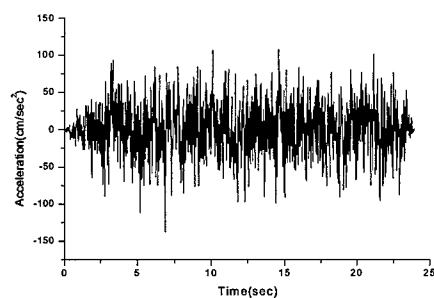
	스프링 계수(KN/m)	
	연약지반	견고한지반
K_x	2.7e5	5.1e5
K_y	12.0e5	15.0e5
K_z	5.1e5	6.2e5
K_{xy}	293.0e5	308.0e5
K_{xz}	1.0e9	1.0e9
K_{yz}	49.9e5	54.0e5



(a) El Centro earthquake



(b) San Fernando earthquake



(c) Artificial earthquake

Fig. 4 일례 지진파

5.4 해석 결과

대상구조물에 대해서 앞서 언급한 비선형 대신 해석 프로그램인 IDARC-Bridge를 사용하여 비선형 대신

손상도 평가를 실시하고, 또한 대신 손상도 평가를 바탕으로 하여 본 논문에서 새로운 계획한 보강 설계법 수를 살펴보고 이에 대한 문제점을 살펴보았다.

5.4.1 바센형 대신 손상도 평가

대상 구조물에 대한 대신 손상도 평가는 크게 연약 지반과 견고한 지반으로 나누어 각 지진파를 가진하여 보강 전과 보강 후의 LRB, Triaxial Isolator에 대하여 살펴보았다.

우선 연약지반에 대한 비정형 대신 해석의 결과는 아래 Table 6과 같다.

Table 6에 의하면 보강 후의 손상 지수가 보강 전보다 현저히 낮아졌음을 알 수 있다. 즉, 본 논문에서 사용한 지진격파장치는 대신에 대하여 보강의 효과가

Table 6 연약지반에 대한 대신 손상도 평가

El Centro							
	P1	P2	P3	P4	P5	P6	
XZ	Original	0.930	0.788	0.545	0.878	0.269	0.502
	LRB	0.396	0.338	0.256	0.344	0.139	0.194
	Triaxial	0.426	0.338	0.241	0.377	0.139	0.204
XYZ	Original	0.884	0.693	0.468	0.552	0.260	0.572
	LRB	0.393	0.301	0.179	0.320	0.130	0.192
	Triaxial	0.428	1.000	0.179	0.320	0.130	0.209

San Fernando							
	P1	P2	P3	P4	P5	P6	
XZ	Original	0.939	0.959	0.717	1.000	0.374	0.475
	LRB	0.305	0.407	0.418	0.548	0.192	0.166
	Triaxial	0.380	0.461	0.427	0.548	0.192	0.175
XYZ	Original	0.984	0.928	0.702	1.000	0.358	0.485
	LRB	0.305	0.407	0.418	0.548	0.192	0.166
	Triaxial	0.398	0.501	0.433	0.551	0.192	0.851

Artificial							
	P1	P2	P3	P4	P5	P6	
XZ	Original	0.581	0.391	0.184	0.275	0.155	0.192
	LRB	0.192	0.149	0.103	0.125	0.076	0.120
	Triaxial	0.212	0.149	0.103	0.125	0.076	0.122
XYZ	Original	0.581	0.391	0.193	0.275	0.165	0.202
	LRB	0.192	0.149	0.103	0.125	0.076	0.120
	Triaxial	0.218	0.149	0.103	0.121	0.076	0.120

있음을 알 수 있다. 그러나 Triaxial Isolator에 있어 El Centro 지진과 XYZ방향 가선지 P2와 San Fernando 지진의 XYZ방향 가선지 PG에서의 손상 지수는 오히려 보강 전보다 더 높았음을 알 수 있다. Triaxial Isolator는 마찰 효과에 의하여 구조물의 수기율 크게 하여 대신에 대한 손상을 줄이도록 하는 장치이다. 그러나 위에서 언급하였듯이 보강 후에 더 큰 손상을 입은 것은 일례 지진파의 수기가 Triaxial Isolator의 증기와 균질하였기 때문이라고 판단된다.

Fig. 5는 연약지반에 대한 손상 지수를 도식화하여 나타낸 것으로 보강 후의 손상지수가 보강 전보다 작음을 알 수 있다.

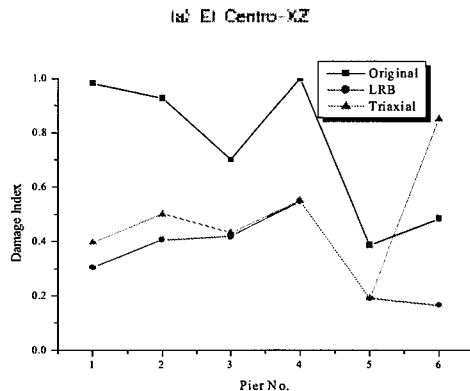
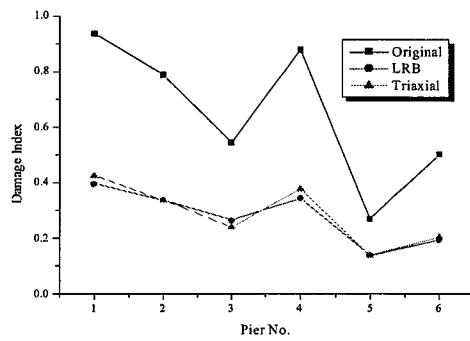


Fig. 5 연약지반에 대한 손상지수 비교

검고한 지반에 대한 비선형 내진 손상도 평가의 결과는 아래 Table 7과 같다. 검고한 지반에 있어서도 앞서 수행된 연약지반에 대한 결과와 유사함을 알 수 있다. 그리고 여기서도 연약지반에서와 같은 이유로 인해 El Centro 지진시 XYZ방향 가설에 대해서 P1과 P2 그리고 San Fernando 지진시 XYZ방향 가설에 대해서 PG에서 보강 선보다 큰 손상지수가 확정되었다. 여기서 비선형 내진 손상도 평가는 통하여 산정된 교량의 보강 선-후에 대한 손상 지수는 본 논문에서 새로이 제안한 보강 상태 합수의 단정에 사용된다.

Fig. 6은 검고한 지반에 대해 인공지진파 가설에서 손상지수를 비교하여 도식화하여 나타낸 것이다.

Table 7 검고한 지반에 대한 내진 손상도 평가

El Centro							
	P1	P2	P3	P4	P5	P6	
XZ	Original	0.934	0.725	0.523	0.771	0.269	0.502
	LRB	0.383	0.382	0.179	0.320	0.130	0.192
	Triaxial	0.418	0.338	0.241	0.357	0.139	0.204
XYZ	Original	0.814	0.731	0.491	0.544	0.269	0.582
	LRB	0.383	0.382	0.179	0.320	0.130	0.192
	Triaxial	1.000	0.951	0.179	0.316	0.130	0.202

San Fernando							
	P1	P2	P3	P4	P5	P6	
XZ	Original	0.895	0.940	0.689	1.000	0.561	0.478
	LRB	0.399	0.407	0.418	0.548	0.192	0.166
	Triaxial	0.372	0.461	0.427	0.548	0.192	0.166
XYZ	Original	0.914	0.920	0.678	1.000	0.565	0.515
	LRB	0.389	0.407	0.418	0.548	0.192	0.166
	Triaxial	0.383	0.465	0.421	0.551	0.192	0.762

Artificial							
	P1	P2	P3	P4	P5	P6	
XZ	Original	0.581	0.291	0.193	0.294	0.155	0.191
	LRB	0.202	0.152	0.103	0.125	0.076	0.110
	Triaxial	0.212	0.152	0.112	0.125	0.076	0.122
XYZ	Original	0.581	0.291	0.202	0.285	0.165	0.191
	LRB	0.202	0.152	0.103	0.125	0.076	0.110
	Triaxial	0.212	0.152	0.112	0.202	0.076	0.120

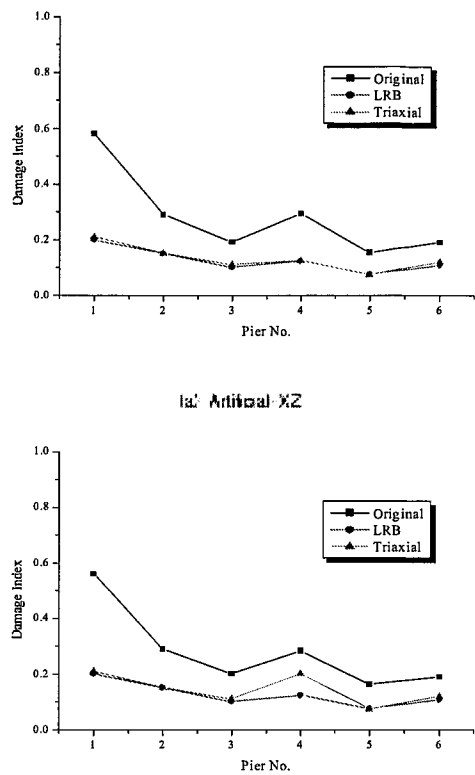


Fig. 6 검고한 지반에 대한 손실지수 비교

5.4.2 내진 보강 상태 합수

앞서 수행된 비선형 내진 손상도 평가를 바탕으로 하여 본 논문에서 제안한 보강 상태 합수를 산정하였다. 우선 연약 지반에 대한 보강 상태 합수는 아래 Table 9에 나타내었다. LRB로 내진 보강을 실시한 경우 El Centro, San Fernando 그리고 인공지진파 모두에서 RSE가 약 40%에서 70%를 나타내고 있다. 이는 보강 선의 교량에 비해 보강 후의 교량이 -10%에서 70%정도의 보강 효과가 있음을 나타내고 있다. 또한 삼방향 적리강화에 있어서도 약 38%에서 64%정도로 보강이 이루어졌음을 알 수 있다.

그리고 Fig. 7은 연약지반에 대해 El Centro 지진을 가진 하였을 경우에 대하여 LRB와 삼방향 지진파

리장치에 대한 RSF값을 도식화 한 것으로서, 6개의 교각 중에서 XZ 방향 가설사 4개의 교각에서 LRB가 유방향 저감재리장치보다 보강 효과가 있고, 나머지 두 개의 교각에 있어서도 두 저감재리장치의 RSF가 차이를 할 수 있다. 또한 XYZ 방향 가설사에도 LRB가 유방향 저감재리장치보다 보강 효과가 유동할 수 있다.

즉 본 논문에서 El Centro 지진에 대한 내진 해석

및 대진 손상도 분석을 수행한 대상 교량에 있어서는 LRB로 보강을 하는 방안을 선택 할 수 있다.

그리고 검교한 지반에 대한 해석 결과는 아래 Table 10에 나타내었다. 검교한 지반에서도 유연 지반과 기와 유사한 결과를 얻을 수 있었다.

즉, 교량 구조물에 대한 내진 보강 실태를 평가하여 최선도 위치로 나타낸으로써 내진 성능 개선된 교량의

Table 9 텔레 지역에 대한 RSF 비교

El Centro							
	P1	P2	P3	P4	P5	P6	
XZ	LRB	57.49	57.04	52.96	60.81	48.40	61.36
	Triaxial	54.53	57.04	55.77	55.77	48.40	59.41
XYZ	LRB	50.92	55.58	61.63	42.02	49.93	66.38
	Triaxial	46.82	N/A	61.63	42.02	49.93	63.51
San Fernando							
	P1	P2	P3	P4	P5	P6	
XZ	LRB	67.49	57.37	41.75	46.14	48.63	65.18
	Triaxial	59.52	51.72	40.41	46.14	48.63	63.26
XYZ	LRB	68.98	55.12	40.58	46.14	50.17	65.88
	Triaxial	59.53	46.00	33.31	45.88	50.17	N/A
Artificial							
	P1	P2	P3	P4	P5	P6	
XZ	LRB	66.91	50.58	44.00	54.46	50.94	37.40
	Triaxial	63.51	50.58	44.00	54.46	50.94	36.75
XYZ	LRB	66.91	50.58	46.69	54.46	53.82	40.46
	Triaxial	62.43	50.58	46.69	58.08	51.82	40.46

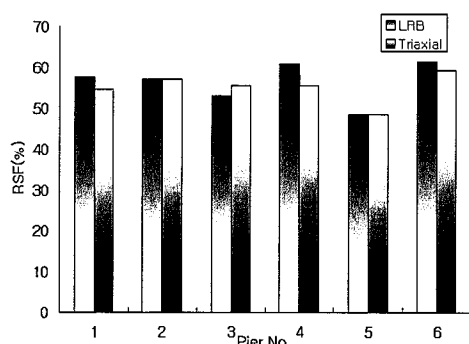


Fig. 7 RSF 비교 예(El Centro - XZ)

Table 10 검교한 지반에 대한 RSF 비교

El Centro							
	P1	P2	P3	P4	P5	P6	
XZ	LRB	58.98	50.02	65.83	68.46	61.72	61.72
	Triaxial	55.29	53.33	53.99	52.37	48.40	59.41
XYZ	LRB	52.91	50.40	63.56	41.16	51.72	66.96
	Triaxial	N/A	N/A	63.56	41.16	51.72	65.26
San Fernando							
	P1	P2	P3	P4	P5	P6	
XZ	LRB	58.81	56.72	39.43	48.76	65.70	65.34
	Triaxial	58.45	51.98	36.03	48.76	65.70	65.34
XYZ	LRB	59.66	57.74	33.39	49.46	65.93	67.89
	Triaxial	58.12	50.98	37.95	49.22	65.93	N/A
Artificial							
	P1	P2	P3	P4	P5	P6	
XZ	LRB	65.21	47.69	46.69	57.40	50.94	42.19
	Triaxial	63.51	47.69	42.11	57.40	50.94	36.32
XYZ	LRB	63.98	47.69	49.16	55.87	53.82	42.19
	Triaxial	62.22	47.69	44.78	56.85	53.82	36.97

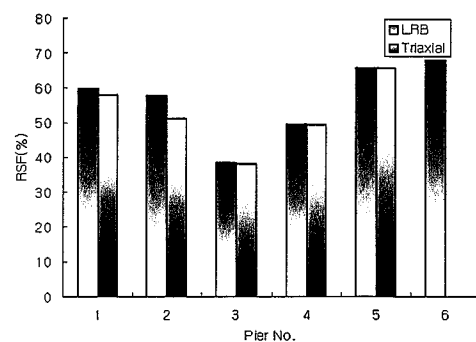


Fig. 8 RSF 비교 예(San Fernando - XYZ)

손상정도가 기존 교량의 손상 정도보다 어느 정도의 회복을 했는지를 쉽게 알 수 있고 향후 이기야 차이한 보강 정도도 판단할 수 있었다.

또한 본 논문에서는 자신 파리장치로 LRB와 삼방향 지진파리장치를 사용하여 자신에 대한 보강을 실시하여 두 가지 보강방안에 대한 RSF를 비교하였다. 이는 향후 LRB나 삼방향 지진파리장치뿐만 아니라 다양한 보강 방안의 선택에 있어 RSF 비교를 통하여 최적의 보강 방안을 선택할 수 있을 것으로 기대된다. 그리고 본 논문에서는 손상 지수만을 고려하여 보강상태 합수의 평가를 실시하였으나 향후 경제적인 측면까지 고려한다면 보다 실질적인 내진 보강 평가가 이루어지리라 판단된다.

6. 결 론

본 논문에서는 자신 발생 시 기존 교량에 대하여 Reinhorn과 Valles 등이 제안한 폐로 손상지수와 사용하여 자신에 대한 손상도 평가를 실시하였고, 자신 파리장치를 사용하여 내진 보강 후에 대한 손상도 평가와 함께 내진 성능 보강상태를 평가하기 위하여 보강상태 합수를 제안하였다.

이와 같은 보강상태 합수를 산정함으로써 내진 성능 보강상태의 정도를 쉽게 판정할 수 있고 향후 보강이 필요한 교량에 대해서도 보강의 유무, 보강정도를 판단하는 기준이 될 수 있을 것이다. 또한 앞서 본 논문에서 설명하였듯이 여러 보강 방안들에 대한 내진 해석을 통해 보강상태 합수를 얻음으로써 각 방안에 대한 보강 정도를 인식하여 대상 구조물에 대한 최적의 보강 방안을 마련할 수 있을 것으로 판단된다.

감사의 글

본 연구는 BK21 사업 연구비 지원에 의하여 수행되었으며, 이에 감사를 드립니다.

참 고 문 헌

- Bauer H., Bliggs J.M., Irvin H.M., "Seismic

- damage in reinforced concrete frames", Jr. of Structural Engineering, ASCE, Vol. 107, No. 9, 1981, pp. 1713~1729.
- Bouc R., "Model Mathématique D'hysteresis", (in French), Acustica V.24, 1971, pp. 16~25.
- Gholbarah A., El-Altar M., Aly N.M., "Evaluation of retrofit strategies for reinforce concrete columns: a case study", Engineering Structures, Vol. 22, 2000, pp. 490~501.
- Kunnath, S. K., Reinhorn, A. M., and Abel, J. F., "Computational Tool for Seismic Performance of Reinforced Concrete Buildings," Computers and Structures, Pergamon Press, Vol. 41, 1992a, No. 1, pp. 157~173.
- Kunnath, S. K., Reinhorn, A. M., and Lohr, R. E., "IDARC Version 3.0: A Program for the Inelastic Damage Analysis of Reinforced Concrete Structures," Report No. NCEER-92-0022, National Center for Earthquake Engineering Research, State University of New York at Buffalo, 1992b.
- Nagarajah S., Reinhorn A.M. and Constantinou M.C., "Nonlinear dynamic analysis of three-dimensional isolated structures(3D-BASIS)", Report No. NCEER-89-0019, National Center for Earthquake Engineering Research, State University of New York, Buffalo, NY, 1989.
- McKibben, A.S., Constantinou, M.C. and Reinhorn, A.M., "Verification of Fraction Model of TelDan Bearing Under Triaxial Load", Journal of Structural Engineering, Vol. 119, No. 1, 1993, pp. 240~250.
- Park, Y. J., and Ang, A. H-S., "Mechanical Seismic Damage Model for Reinforced Concrete," J. Struct. Eng., ASCE, 111(4), 1985, pp. 740~757.
- Park, Y. J., Ang, A. H-S., and Wen, Y. K., "Seismic Damage Analysis and Damage-Limiting design of R/C Buildings," Civil Engineering Studies, Technical Report No. SRS-516, University of Illinois, Urbana, 1981.
- Park Y.J., Reinhorn A.M., Kunnath S.K., "IDARC: Inelastic damage analysis of RC frame-shear wall structures", Technical Report NCEER-87-0006, National Center for Earthquake Engineering Research, State University of New York, Buffalo, NY, 1987.
- Priestley, M. J. N., Seible, F. & Calvi, G. M., "Seismic Design and retrofit of Bridge",

- John Wiley & Sons, Inc. 1996.
12. Reinhorn, A.M., Simeonov, V. and Mylonakis, G. Rechman, Y., "MASET Bridge: A Computational Platform for Seismic Damage Assessment of Bridge Structures," Report No. MCEER-98-0011, Multidisciplinary Center for Earthquake Engineering Research, State University of New York, Buffalo, NY, 1998.
 13. Reinhorn, A. M., and Valles, R. E., "Damage Evaluation In Inelastic Response of Structures: A Deterministic Approach," Report No. NCEER-95-xxxx, National Center for Earthquake Engineering Research, State University of New York at Buffalo, 1995.
 14. Shigeki Urushibara, Tora Terayama, Yukio Adachi, Jun-ichi Hoshikuma, "Seismic retrofit of existing highway bridge in Japan", Cement & Concrete Composite, Vol. 22, 2000, pp.1-16.
 15. Burdo E., Teran A., Guerrero J.J., Juarez H., Iglesias J., "Inelasticity and resistance requirements imposed on a concrete building", Earthquake Spectra, Vol. 5, No. 1, 1989, pp. 41-50.
 16. Wen, Y. K., "Method for Random Vibration of Hysteretic Systems," Journal of the Engineering Mechanics Division, ASCE, Vol. 102, No. EM2, 1976, pp. 249-263.
 17. Williams, M. B. and Sexton, R. G., "Seismic Damage Indices for Concrete Structures: A State-of-the-Art Review", Earthquake Spectra, Vol. 11, No. 2, May 1995, pp. 319-349.
 18. Yossi Rechman, "Evaluation of Bridge Structures Subjected to Severe Earthquakes", Ph. D. thesis, Faculty of the Graduate School of the State University of New York, 1996.
 19. 한국도로공사통합회, 도로교설계기준, 2000.

(설수일자 : 2001년 8월 10일)